

# زمین دماسنجدی و زمین فشارسنجدی سنگ‌های دگرگونی منطقه دهنو (شمال باختر مشهد)

رامین صمدی<sup>۱</sup>، محمدولی ولیزاده<sup>۲</sup>، حسن میرنژاد<sup>۲</sup> و هیروشی کاواباتا<sup>۳</sup>

<sup>۱</sup>دانشگاه آزاد اسلامی، واحد علوم و تحقیقات تهران، گروه زمین‌شناسی، تهران، ایران

<sup>۲</sup>دانشکده زمین‌شناسی، پردیس علوم، دانشگاه تهران، تهران، ایران

<sup>۳</sup> مؤسسه مطالعه تحولات کره زمین، بخش علوم و فناوری زمین دریا، یوکوسوکا، ژاپن

تاریخ پذیرش: ۱۳۸۹/۰۹/۰۱ | تاریخ دریافت: ۱۳۸۹/۰۴/۲۲

## چکیده

سنگ‌های دگرگونی منطقه دهنو به طور غالب شامل شیوه‌های ریزدانه خاکستری تا سیاهرنگ است. گارنت‌شیست‌ها (نسبت به گارنت کلریتوییدشیست‌ها) در فاصله نزدیک‌تری نسبت به توده توپالیتی قرار گرفته‌اند و در فاصله مرزی بین این شیوه‌ها با حاشیه توده توپالیتی دهنو، باریکه‌ای از هورنفلس‌های استارولیت و آندالوزیت دار دیده می‌شود. گارنت‌شیست و گارنت کلریتوییدشیست‌های منطقه دهنو از نظر کانی‌شناسی شامل کوارتز، بیوتیت، مسکوویت، گارنت، کلریت، کلریتویید، تورمالین و ایلمینیت است. نتایج زمین دمافنارسنجدی نشان می‌دهد که هورنفلس (۴۸۶ °C) و گارنت کلریتوییدشیست (۴۹۷ °C) در شرایط تعادلی پایین‌تری نسبت به گارنت‌شیست (۵۶۹ °C) (۵/۳ kbar) تشکیل شده‌اند.

**کلید واژه‌ها:** شیست، زمین دماسنجدی، زمین فشارسنجدی، دهنو، مشهد.

\*نویسنده مسئول: رامین صمدی

E-mail: rsamadi@hotmail.com

## ۱- مقدمه

در این مطالعه با استفاده از نتایج تجزیه میکروپریوب کانی‌ها، شرایط دما و فشار حاکم بر تشکیل سنگ‌های دگرگونی منطقه دهنو مورد بررسی قرار می‌گیرد.

## ۲- زمین‌شناسی منطقه

منطقه دهنو در شمال خاوری ایران و در ۱۵ کیلومتری شمال باختری شهر مشهد قرار گرفته است. این ناحیه در محدوده زون ساختاری بینالود و در استداد خاوری سلسه جبال البرز، در طول‌های جغرافیایی ۲۲° تا ۵۹° ۲۶' ۵۹" جغرافیایی<sup>۱</sup> و عرض ۳۶° تا ۳۶° ۲۲' میلاری قرار دارد (شکل ۱). هدف این تحقیق، بررسی روابط دما و فشار حاکم بر تشکیل و دگرگونی شیوه‌های هورنفلس‌های منطقه دهنو است. به این دلیل، در ادامه گروهی از سنگ‌های آذرین منطقه که در رویداد این

حوادث دگرگونی مؤثر بوده‌اند، از نظر سنگ‌شناسی معرفی خواهند شد.

در جنوب و جنوب‌باختر مشهد تا شمال دشت تربت جام، برونزدهای نایپوسته‌ای از توده‌های گرانیتوییدی با وسعت ۲۶۰ کیلومتر مربع گشتش را فراهم نموده اند. با دیگر توده‌های نفوذی جنوب‌باختری مشهد (وکیل‌آباد، گلستان، طرقبه) به طور مشترک نگریسته شوند، طول آنها به ۷۰ کیلومتر می‌رسد. یقیناً این توده‌های گرانیتوییدی که در یک راستای تقریبی شمال باختری - جنوب خاوری آرایش یافته‌اند، بخش‌های مرتفع یک باтолیت عظیم هستند که بخش‌هایی از آن هنوز رخنمون نیافرته است، بنابراین به دلیل ظاهر خطی شاید بتوان آن را یک باтолیت کرد. دلایلی در نظر گرفت که در زمان تزریق از یک منشأ در درون یک پاره‌شدگی برشی تزریق شده است (صدمی، ۱۳۸۷).

بر اساس مطالعات هانتی (۱۳۸۲) و Alavi (۱۹۹۱)، ویژگی‌های زمین‌شناسی منطقه مورد مطالعه از یک شیار قاره‌ای حکایت می‌کند که در پرمین آغاز شده، پس از تشکیل فرویوم‌های (گراین) متعدد، رسوبات داخل آنها در نتیجه فرونشینی و تعادل گرمایی بدون تغییر شکل و به صورت هم‌فشار، دگرگونی ناحیه‌ای از نوع فشار پایین-دمای بالا را تحمل کرده است.

دگرگونی ناحیه‌ای این سنگ‌ها در تربیاس به‌وقوع پیوسته و ضمن دگرگونی، توده‌های گرانیتوییدی به این نوار دگرگونی تزریق شده‌اند. در طی دگرگونی و پلوتونیسم نیروهای فشارشی مورب، باعث حرکات امتدادلغز در راستای گسل‌ها شده

مطالعات زمین دماسنجدی و زمین فشارسنجدی که غالباً بر پایه تجربیات آزمایشگاهی و محاسبات و مدل‌سازی‌های ترمودینامیکی کانی‌ها بنا شده‌اند، به درک بهتر شرایط دما و فشار حاکم بر سنگ‌ها در طی فرایندهای زمین‌شناسی، کمک مؤثری کرده‌اند. تاکنون محققان بسیاری به بررسی سنگ‌شناسی سنگ‌های آذرین و دگرگونی منطقه مشهد پرداخته‌اند. مطالعات Lammerer et al. (1983) سن گرانیت‌های مشهد را به پرمین نسبت می‌دهد اما بر اساس روش سن‌سنجدی K-Ar توسط ۲۴۵ میلیون سال (اواخر پرمین تا تربیاس زیرین) به دست آمده بود و در مطالعه اخیر توسط Karimpour et al. (2010) که بر اساس روش اورانیم-سرب زیرکن موجود در گرانیتوییدها انجام شده است، سن ۲۱۵ (±۵) میلیون سال (تربیاس پسین، نورین) به دست آمده است.

Majidi (1978) افزون بر مطالعه سنگ‌نگاری سنگ‌های گرانیتی و دگرگونی و همچنین مطالعه ژئوشیمی اولترامافیکی‌های بین‌لایه‌ای در اسلیت‌ها، به مطالعه فازهای کوه‌هایی منطقه و ارتباط آنها با دگرگونی، گرانیتی‌شدن و تکوین بینالود پرداخته است. وی با توجه به شواهد زمین‌شناسی و سن‌یابی، فازهای اولیه دگرگونی و گرانیت‌زایی را با کوه‌هایی هرسینین مرتبط دانسته، که بعدها در تربیاس میانی تحت تأثیر فاز سیمرین پیشین قرار گرفته است. اسماعیلی و همکاران (۱۳۸۲) سنگ‌های دگرگونی ناحیه‌ای فشار متوسط - دمای بالا در جنوب مشهد را به پنج پهنه کلریت، بیوتیت، گارنت، استارولیت و سیلیمانیت تقسیم کرده و بر این باورند که همزمان با دگرشکلی و رویداد دگرگونی ناحیه‌ای، توده نفوذی گرانیتوییدی - تونالیت در سنگ‌های منطقه تزریق شده و هاله دگرگونی همبری نسبتاً باریکی را بر روی پهنه‌های دگرگونی ناحیه‌ای ایجاد کرده است. بهاری‌فر و همکاران (۱۳۸۴) در سنگ‌های دگرگونی آنچه دهنو به بررسی فازهای اصلی دگرشکلی پرداخته و آنها را به صورت سه فابریک صفحه‌ای  $S_1$  و  $S_2$  مشخص کرده‌اند که کلریت، مسکوویت و بیوتیت در  $S_1$  تشکیل شده‌اند و تبلور آنها در  $S_2$  نیز ادامه یافته است. کلریتوییدها متعلق به  $S_1$  و پس از  $S_2$  هستند. گارنت‌ها در دو مرحله  $S_1$  و  $S_2$  متبلور شده‌اند و آندالوزیت‌ها بعد از  $S_2$  متبلور شده‌اند. سیلیمانیت‌ها همزمان با  $S_1$  و  $S_2$  هستند. استارولیت‌ها همزمان و پس از  $S_2$  بوده و با توجه به اهمیت تعیین شرایط محیطی در مطالعات مربوط به پهنه‌های زمین‌شناسی،

شیسته‌ها با حاشیه توده توالتی دهنو، باریکه‌ای از هورنفلس‌های استارولیت و آندالوزیت دار دیده می‌شود. در جدول ۲ به نامگذاری و کانی‌شناسی میکروسکوپی نمونه‌های مورد مطالعه اشاره شده است.

**۱-۴. گارنت کلریتویید شیست:** گسترش زیادی در منطقه مورد مطالعه دارد و چنانچه در شکل ۱ دیده می‌شود در همبری با آندالوزیت شیست‌ها قرار دارد. این سنگ‌ها دارای رنگ خاکستری نقره‌ای با جلای ابریشمی هستند و بلورهای گارنت با ابعاد بین ۱ تا  $1/5$  میلی‌متر، بخش عمده سنگ را تشکیل می‌دهند. گارنت موجود در این سنگ‌ها به صورت خودشکل تانیمه خودشکل وجود دارد و دارای میانباره‌ای از کوارتز (شکل ۲-د) و همچنین شکستگی است و نسبت به گارنت موجود در دو نمونه گارنت شیست و هورنفلس دارای ابعاد کوچک‌تری است. بر اساس مطالعات میکروسکوپی مجموعه کانی‌های موجود در این گروه از سنگ‌ها به صورت گارنت + کلریتویید + تورمالین + کلریت + کوارتز + فلدسپار + بیوتیت + مسکوویت + ایلمینیت است. بافت این سنگ به علت جایش نواحی کوارتز و فلدسپار از نواحی میکا، لپیدوپیرفیروblastیک است. البته فراوانی کوارتز بیشتر از فلدسپارهاست. کوارتز موجود در گارنت شیست کلریتوییددار به صورت بی‌شکل بوده و خاموشی موجی دارد. نتایج تجزیه کانی‌های این گروه از شیست‌ها در جدول ۳ و با عنوان DH-GCS آورده شده است.

**۲-۴. گارنت شیست:** در فاصله ۵ تا ۲۰ متری از تعاس بین پلیت‌ها و توالتی و در همبری لایه هورنفلس قرار دارند (جدول ۴، شکل ۳). این گروه از شیست‌ها در منطقه دهنو گسترش کمتری دارند. گارنت شیست‌ها دارای پرفیروblastیت گارنت به صورت نیمه‌شکل دار تا بی‌شکل هستند و میانباره‌ای از کوارتز، مسکوویت و بیوتیت در گارنت آنها دیده می‌شود (شکل ۳-د). در این سنگ‌ها گارنت‌ها با بافت «سايه‌فشاری» به رنگ قهوه‌ای و قطر ۲ تا  $2/5$  میلی‌متر مشاهده می‌شوند که به همراه کانی‌های کوارتز، بیوتیت، مسکوویت، زیرکن و کانی‌های کدر هستند. مسکوویت و بیوتیت در این سنگ‌ها سازنده شیست‌وارگی بوده و در برخی از مقاطع بیوتیت‌ها اطراف گارنت را احاطه کرده‌اند. به طور کلی میزان کانی‌های روشن در این سنگ، اندکی کمتر از هورنفلس‌های مجاور است. در این نمونه نیز تورمالین‌ها به صورت مقاطع عرضی و طولی قابل مشاهده هستند. کوارتزها اغلب بی‌شکل و دانه‌ریز هستند، اما گاهی قطعات دانه‌درشت تر آنها که خاموشی موجی دارند نیز مشاهده می‌شوند که در آنها گاه میانباره‌ای از کانی‌های میکاگی مانند مسکوویت وجود دارد. فلدسپارها نیز فراوانی کمی دارند. اصولاً در این سنگ از بین کانی‌های میکاگی، مسکوویت فراوانی بیشتری داشته و دانه‌درشت تر است. نتایج تجزیه برخی کانی‌های موجود در این گروه از شیست‌ها در جدول ۴ و با عنوان DH-GS آورده شده است.

**۳-۴. هورنفلس‌ها:** یکی دیگر از گروه‌های سنگی موجود در منطقه دهنو هستند که در همبری با گارنت شیست‌ها قرار دارند (جدول ۵، شکل ۴). شایان ذکر است که گارنت‌ها در نمونه‌دستی این سنگ‌ها به آسانی دیده نمی‌شوند. در زیر میکروسکوب، سنگ به طور کلی دانه ریز بوده، اما گارنت موجود در نمونه هورنفلس نیمه‌خودشکل تا بی‌شکل بوده و از نظر محتوای میانباره، فاقد منطقه‌بندی و شامل میانباره‌ای از کوارتز، بیوتیت، مسکوویت و کانی‌های کدر است. اندازه بلورهای گارنت ۱ تا  $1/5$  میلی‌متر است و توسط بیوتیت و فیروولیت احاطه شده‌اند (صدملی، ۱۳۸۷).

هورنفلس‌های منطقه دهنو، افزون بر بلورهای کوچک گارنت دارای کوارتز، آندالوزیت، بیوتیت، مسکوویت، کلریتویید، تورمالین، سیلیمانیت (به صورت فیروولیت) و کانی‌های کدر هستند. جایش کوارتزها (که اغلب حالت تجمعی و بسیار دانه‌ریز دارند) از فلدسپارها و فراوانی آنها نسبت به فلدسپارها قابل توجه است، در حقیقت فلدسپارها در این نمونه بسیار اندک بوده (در حدود چند درصد) و معمولاً دارای دوقلویی پلی‌ستنتیک بسیار طریف هستند. تورمالین‌ها با ویژگی چندرنگی

است، تا جایی که در سنگ‌های دگرگونی شیست‌وارگی لغزشی به وجود آورده و نیز گرانیتوییدها را می‌لونیتی کرده‌اند (هانقی، ۱۳۸۲؛ Alavi، 1991).

بر اساس مطالعات Majidi (1978)، سه فاز دگرگونی ناحیه‌ای و دگرگونی همبری پیرامون مشهد به ترتیب زیر رخ داده است: (۱) دگرگونی ناحیه‌ای که باعث تشکیل اسلیت، فیلیت، شیست، مرمر و کوارتزیت شده است؛ (۲) دگرگونی دینامیک که باعث تشکیل می‌لونیت و سنگ‌های کاتاکلاستیک شده است؛ (۳) دگرگونی همبری که به علت نفوذ توده‌های گرانیتوییدی به وجود آمده و در نتیجه آن، کانی‌ها و سنگ‌های دگرگونی همبری (هورنفلس) و همچنین توده‌های اسکارنی تشکیل شده‌اند.

بر اساس مطالعات گذشته و مطالعه حاضر، بخشی از سنگ‌های دگرگونی منطقه دهنو را اسلیت، فیلیت، گارنت شیست، کلریتویید شیست، گارنت کلریتویید شیست، آندالوزیت شیست، استارولیت آندالوزیت گارنت شیست، استارولیت آندالوزیت شیست، هورنفلس، مرمر، کوارتزیت و اسکارن تشکیل می‌دهند، که در این تحقیق به بررسی رابطه بین گارنت شیست‌ها، گارنت کلریتویید شیست‌ها و هورنفلس پرداخته شده است.

### ۳- روش مطالعه

برای دستیابی به اهداف این تحقیق پس از بررسی شواهد صحرایی، رخنمون‌های مناسب نمونه‌برداری و از آنها مقاطع نازک و نازک‌تر صیقلی تهیه شد. تجزیه شیمیایی کانی‌ها با استفاده از دستگاه میکروپروب JEOL مدل JXA-8800 و JXA-8500F در مؤسسه مطالعه تحولات کره زمین (IFREE) در کشور ژاپن و با ولتاژ  $15\text{ kV}$  و  $15\text{ nA}$  انجام گرفت. تعداد  $69$  نقطه مربوط به کانی‌های پلاژیوکلاز، بیوتیت، مسکوویت، آندالوزیت، کوارتز و گارنت تجزیه شد که نتایج تجزیه آنها در جدول‌های ۳ تا ۵ آراهه شده است. در این مقاله، از اختصارات پیشنهادی آنها در جدول‌های Kretz (1983) برای بیان نام کانی‌ها استفاده شده است. فرمول ساختاری و آهن فریکی موجود در کانی‌ها بر اساس روش استوکیومتری Droop (1987) محاسبه شد.

نقاط مورد تجزیه از کانی‌های پاراژنر، در مقطع انتخاب شده‌اند تا بتوان از آنها در مطالعات دماشارسنجی استفاده کرد. همچنین داده‌های مرتبط با هر کانی، مربوط به یک نمونه از آن کانی است. بنابراین بررسی آماری داده‌های ژئوشیمیایی مربوط به تجزیه کانی‌ها (جدول ۱) نشان می‌دهد که میزان انحراف از معیار داده‌های مربوط به هر کانی از میانگین داده‌هایش، بسیار اندک و قابل چشم‌پوشی است (به طور میانگین در حد کمتر از  $0.029\%$  اتم در واحد فرمول ساختاری کانی؛ داده مربوط به ستون و ردیف آخر در جدول ۱) و تأثیر آن در نتایج نهایی محاسبات دماشارسنجی قابل چشم‌پوشی است.

بنابراین با توجه به گستردگی و تعداد داده‌های موجود، در جدول‌های مربوط (جدول‌های ۳، ۴ و ۵)، تنها تعداد محدودی از نتایج تجزیه به صورت نمونه ذکر شده و در محاسبات نیز با توجه به پاراژنر بودن نمونه‌های تجزیه شده، از مقدار میانگین داده‌ها بهره گرفته شده است و از خطای ناچیز ناشی از انحراف از معیار داده‌ها صرف نظر شده است.

### ۴- سنگ‌نگاری

سنگ‌های دگرگونی ناحیه‌ای منطقه دهنو شامل شیست‌های ریزدانه خاکستری تا سیاه رنگ هستند که به دلیل حضور میکای فراوان، شیست‌وارگی مشخصی یافته‌اند. کانی‌های خاکستری دگرگونی در این سنگ‌ها، کلریتویید و گارنت در اندازه‌های مختلف هستند. گارنت شیست نسبت به گارنت کلریتویید شیست در فاصله نزدیک‌تری از توده توالتی دهنو قرار گرفته است (شکل‌های ۲ و ۳). در فاصله مرزی بین این

آنالوژیت متمر کر هستند. میانگین مقدار نسبت  $\text{Mg}/(\text{Fe}+\text{Mg})$  مسکوویت‌هایی که در مجاورت آنالوژیت‌ها و گارنت‌ها مشاهده می‌شوند (شکل‌های ۲-۳-۴-۵)، در نمونه‌های DH-H و DH-GS به ترتیب  $0.700 \pm 0.025$  و  $0.622 \pm 0.022$  است (نمونه‌های موجود در جدول‌های ۳ و ۴).

در میان کانی‌های آلومینوسیلیکات، آنالوژیت با فراوانی بالاتری در اندازه‌های مختلف مشاهده می‌شود (شکل‌های ۲، ۳ و ۴). اثرات سریسیتی شدن ناشی از دگرگونی پس‌روند نیز در اطراف کانی‌ها قابل مشاهده است (شکل‌های ۲ و ۴). نتایج محاسبه درصد اکسیدها و فرمول ساختاری این کانی در جدول‌های ۳ و ۴ و ۵ ارائه شده‌اند. میزان آهن موجود در این کانی از هورنفلس به سمت گارنت شیست و سپس گارنت کلریتویید شیست افزایش می‌یابد (به ترتیب  $0.012 \pm 0.024$  و  $0.011 \pm 0.024$  اتم در واحد فرمول ساختاری کانی).

## ۶- زمین‌دماسنجی و زمین‌فشار‌سنگی

اساس تعیین دما و فشار کانی‌ها با توجه به ترکیب شیمیایی آنها، بر این فرض استوار است که مجموعه کانی‌های هر سنگ، در شرایط تعادلی تشکیل شده باشند. به عقیده محققان این وضعیت ممکن است برای سنگ‌هایی که به سرعت سرد شده یا در دمای پایین‌تری تشکیل شده‌اند، معتبر باشد (Bucher and Frey, 2002). در واقع، این دما-فسارسنجهای بر اساس حساسیت توزیع عناصر در ساختار کانی‌ها و یا طی تبادلات شیمیایی، نسبت به دما و یا فشار طراحی شده‌اند. اما در مورد هر یک از این روش‌ها، معیارهایی هم وجود دارد که باید به آنها توجه کرد (شیردشتزاده و صمدی، ۱۳۸۹).

گارنت‌ها یکی از مهم‌ترین گروه‌های کانی‌های ارتوسیلیکاتی هستند که در انواع گسترده‌ای از محیط‌های زمین‌شناسی یافت می‌شوند (Deer et al., 1997). در حقیقت کانی‌های گروه گارنت مشخص کننده سنگ‌های دگرگونی هستند، اما در بعضی سنگ‌های آذرین و همچنین در رسوبات به صورت دانه‌های تخریبی هم دیده می‌شوند. اصولاً گارنت را می‌توان شاخص سنگ‌زدای مفیدی تلقی کرد، البته نه فقط به دلیل پایداری آن در محدوده وسیعی از دما، بلکه توزیع آهسته کاتیون‌ها در گارنت موجب می‌شود که بتوان آن را در بسیاری از دما-فسارسنجهای به کار برد. بنابراین گارنت‌های دارای منطقه‌بندی، می‌توانند بخش مهمی از مسیر زمان - دما - فشار سنگ‌ها را ثبت کنند (Spear et al., 1984). بنابراین به منظور تعیین دما و فشار سامانه‌های دگرگونی و غیردگرگونی، تاکنون روش‌های زمین‌دماسنجی متعددی بر اساس استفاده از ترکیب گارنت، ارائه شده است (صمدی و شیردشتزاده، ۱۳۸۹).

پدیده جانشینی و تبادل عناصر، عامل مؤثر در بروز انحراف از معیار در نمونه‌ها بوده است. در جدول ۱ مشاهده می‌شود که در مورد داده‌های گارنت، تنها انحراف از معیار قابل توجه، در مورد دو عنصر منگنز و آهن است. البته میزان تغییرات Mn و Fe<sup>2+</sup> در کانی گارنت عکس هم بوده (به دلیل جانشینی Mn به جای Mg و Fe<sup>2+</sup>) و با افزایش میزان یکی، از دیگری کاسته می‌شود. برای مثال در داده‌های گارنت موجود در نمونه گارنت کلریتویید شیست، این تغییرات در مورد منگتر برابر  $45/40$ ، در مورد منیزیم  $0/40$  و برای آهن  $0/4$  اتم در واحد فرمول ساختاری کانی است. بنابراین، با توجه به تغییرات هماهنگ دو عنصر منگنز و آهن و نیز عناصر دیگر، مقادیر اندک انحراف از معیار داده‌ها و یکسان بودن ترکیب کلی هر کانی (برای مثال ترکیب کلی گارنت‌ها آلماندین به شمار می‌رود)، از مقادیر میانگین این داده‌ها در محاسبات دما-فسارسنجهای بهره گرفته شده است.

همچنین تاکنون مطالعات تجربی و آزمایشگاهی زیادی بر روی محدوده‌های پایداری آلومینوسیلیکات‌ها انجام شده است. بر اساس مطالعات تجربی Althaus (1967)، دما و فشار نقطه سه‌گانه در حدود  $595 \pm 10$  درجه سانتی‌گراد

معکوس خود، در مقطع یافت می‌شوند. برخی از آنها در مقطع عرضی به شکل هگزاگونال مشاهده می‌شوند. کلریت موجود در این سنگ‌ها اغلب در ارتباط با فیرولیت‌ها و در امتداد جهت‌یافته‌گی آنها قرار دارد و مقدار آنها نسبتاً فراوان است، اما بیوپیت بسیار کمتر و اغلب دانه‌بریز است. همچنین به عقیده همام و قائمی (۱۳۸۷) در هاله دگرگونی گرانیت مشهد، فیرولیت‌ها که از بیوپیت‌ها در حال تشکیل هستند، یک واقعه تأخیری در تاریخ دگرگونی و در ارتباط با سیال‌های اسیدی مشتق شده از توده گرانیتی مشهد بوده است. در حالت معمولی، تشکیل مشورهای سیلیمانیت با نایابی‌دار آنالوژیت همراه است، در حالی که در نمونه‌های فاقد مشور و دارای فیرولیت، آنالوژیت می‌تواند پایدار باشد، بنابراین فیرولیت‌ها در محدوده پایداری آنالوژیت نیز ظاهر می‌شوند (Holdaway and Mukhopadhyay, 1993). میابارهای کوارتز به روشنی در آنالوژیت‌ها مشاهده می‌شوند. نتایج تجزیه کانی‌های موجود در این گروه از شیست‌ها در جدول ۵ و با عنوان DH-H آورده شده است.

## ۵- شیمی کانی‌ها

ترکیب شیمیایی تعدادی از کانی‌های فلدسپار، میکا (مسکوویت و بیوپیت)، گارنت و سیلیکات‌های آلومینیم‌دار موجود در شیست‌ها و هورنفلس منطقه به صورت نمونه در جدول‌های ۳، ۴ و ۵ آمده است.

براساس نمودار رده‌بندی (Deer et al., 1992) فلدسپارهای نمونه‌های DH-GS و DH-H دارای ترکیب میانگین آلبیت هستند، در حالی که فلدسپارهای نمونه DH-GCS ترکیب آنورتوکلاز دارند (جدول‌های ۳، ۴ و ۵ و شکل ۵-الف). در حقیقت، فلدسپار موجود در نمونه گارنت شیست از نوع پلاژیوکلاز (آلبیت-آنورتیت)، در نمونه گارنت کلریتویید شیست از نوع فلدسپار قلیابی (آلبیت-ارتوكلاز) و در هورنفلس از نوع پلاژیوکلاز (آلبیت-آنورتیت) است (شکل ۵-الف و جدول‌های ۳، ۴ و ۵).

میانگین ترکیب گارنت موجود در گارنت کلریتویید شیست، گارنت شیست و هورنفلس عمده‌ای به صورت محلول جامد آلماندین-اسپیسارین و با ترکیب غالب آلماندین است (جدول‌های ۳، ۴ و ۵). بر اساس نمودار تفکیک گارنت‌ها توسط Harangi et al. (2001)، گارنت‌های موجود در نمونه گارنت کلریتویید شیست، گارنت شیست و هورنفلس حاصل دگرگونی سنگ‌های پلیتی ناچیه است و منشاء رسویی ندارد (شکل ۵-ج). مطابق آن میزان اکسید Mn از نمونه DH-GS به H-DH-GCS و افزایش می‌یابد. همچنین درصد آلماندین موجود در گارنت از نمونه DH-GS به سمت DH-GCS و سپس DH-H به طور نسبی کاهش و برعکس میزان اسپیسارین آنها افزایش یافته است (جدول‌های ۳، ۴ و ۵).

بیوپیت یکی از مهم‌ترین کانی‌ها در تشکیل رخ‌های موجود در شیست‌های منطقه است. این کانی نیز در دو مرحله متبلور شده است. نسل اول بیوپیت‌ها همراه با مسکوویت و کلریت، سازنده رخ اصلی در سنگ‌های دگرگونی منطقه است و نسل دوم به صورت بلورهای درشت در زمینه سنگ و به صورت متقاطع با رخ اصلی سنگ دیده می‌شود (هانتفی، ۱۳۸۲). تبعیجه تجزیه میکرپریوب بیوپیت‌های درشت بلور تدر نمونه‌های DH-GS و DH-H یانگر ترکیب آنیت تا سیدروفلیت است. اگرچه، میزان DH-H در بیوپیت‌های نمونه GS-اندکی به دور نسبی از نمونه DH-H است (جدول‌های ۴ و ۵، شکل ۵-ب).

مسکوویت به صورت گسترده در سنگ‌های پلیتی منطقه دیده می‌شود. بر اساس مطالعات بهاری فر و همکاران (۱۳۸۴)، نسل اول آنها همراه با کانی‌های بیوپیت و کلریت سازنده رخ اصلی سنگ‌های دگرگونی است. نسل دوم این کانی به صورت پرفیروپلاست‌های درشت و متقاطع با رخ اصلی سنگ بوده و یانگر بلور پس از رخ اصلی است. نسل سوم مسکوویت محصول دگرگونی پیشونده سریسیت‌های حاصل از دگرگونی پس‌روند آنالوژیت‌ها هستند، بنابراین در پیرامون و داخل بلورهای

که با استفاده از این روش برای نمونه گارنت شیست و هورنفلس مورد مطالعه، به دست می‌آید، به ترتیب در حدود ۵۹۳ و ۵۶۲ درجه سانتی گراد است (جدول ۶). همچنین دمای حاصل از روش دماستنج Ti در کانی بیوتیت، با استفاده از تعیین مقادیر Ti (Mg# = Mg/Mg + Fe) بر روی شکل نیز قابل محاسبه است که به این ترتیب دمایی در حدود ۵۴۰–۶۴۰ درجه سانتی گراد برای نمونه گارنت شیست و ۶۰۰–۵۵۰ درجه سانتی گراد برای هورنفلس به دست می‌آید (شکل ۵–۶ و جدول ۶).

**۶- زمین فشارسنج گارفت - بیوتیت - مسکوویت - آلومینوسیلیکات - کوارتز**  
 فشارسنج GBMAQ، برای مجموعه‌های دگرگونی با گارنت کم کلسیم ( $>0.03$ ) و پلازیو کلاز کم کلسیم ( $<0.07$ ) و سنگ‌های دگرگونی فاقد پلازیو کلاز مناسب است (Wu and Zhao, 2007). مجموعه کانی‌های گارنت + بیوتیت + مسکوویت + کوارتز  $\pm$  پلازیو کلاز  $\pm$  آلومینوسیلیکات در سنگ‌هایی با درجه دگرگونی متوسط تا بالا، عمومیت دارند.

فشارسنج GBMAQ در محدوده متالپیت‌های طبیعی و دمایی در حدود ۶۹۰ تا ۶۰۰ درجه سانتی گراد و فشار  $0/8$  تا  $9/2$  کیلوبار و توسط دماستنج گارنت - بیوتیت Holdaway (2000) و فشارسنج GASP مربوط به Holdaway (2001) شده است. خطای تصادفی در فشارسنج GBMAQ در حدود  $\pm 0/8$  کیلوبار، برآورده شده است (Wu and Zhao, 2007). فشارسنج GBMAQ، بر اساس حضور آلومینوسیلیکات آندالوزیت به صورت فرمول زیر کالیبره شده است:

(Wu and Zhao, 2007)

$$P(And) = \left\{ -23641.1 + 31.4192T - 261161.5X_{Al}^{bio} \times (X_{Fe}^{bio} + X_{Mg}^{bio} - 1) - 1489211.0X_{Ti}^{bio} \right. \\ \left. (X_{Fe}^{bio} + X_{Mg}^{bio} - 1) - 2782295.6X_{Al}^{bio}X_{Ti}^{bio} - 0.2637 \times \left[ RTLn \frac{(X_{Fe}^{bio})^3}{(X_{Fe}^{bio})^3(X_{AlV1}^{mus})^2} \right] \right. \\ \left. + T(Fe_a + 3.68X_{Mg}^{bio} + 238.585X_{Al}^{bio} + 370.39X_{Ti}^{bio} - 3.68X_{Fe}^{bio}X_{Mg}^{bio} \right. \\ \left. - 238.585X_{Fe}^{bio}X_{Al}^{bio} - 370.39X_{Fe}^{bio}X_{Ti}^{bio}) + Fe_c - 5333.0X_{Mg}^{bio}209850X_{Al}^{bio} \right. \\ \left. 310990.0X_{Ti}^{bio} + 5333.0X_{Fe}^{bio}X_{Mg}^{bio} + 209850.0X_{Fe}^{bio}X_{Al}^{bio} + 310990.0X_{Fe}^{bio}X_{Ti}^{bio} \right\} \\ / (1 - 0.2637Fe_b)$$

برای استفاده از این روش، ابتدا به بررسی مقاطع در زیر میکروسکوپ پرداخته و روابط کانی‌ها بررسی شد. بر اساس مطالعات بهاری فر و همکاران (۱۳۸۴)، در سنگ‌های دگرگونی منطقه دهنو بیوتیت، گارنت، آندالوزیت و مسکوویت‌ها همگی در طی فاز ۱ تشکیل شده‌اند و تبلور آنها در  $S_2$  نیز ادامه یافته است. همان‌گونه که در تصاویر ۳–۵ و ۶–۷ مشاهده می‌شود، مجموعه کانی‌های گارنت، بیوتیت، آندالوزیت، کوارتز و مسکوویت در هر سه نمونه دارای رابطه پارازیتیکی با هم بوده و می‌توان تعادل و تبادلات شیمیایی را بین آنها در نظر گرفت. نتایج حاصل از محاسبه فشار، به وسیله زمین فشارسنج GBMAQ در مورد نمونه هورنفلس و گارنت شیست مورد مطالعه، به ترتیب در حدود  $4/3$  تا  $5/3$  کیلوبار است (جدول ۶).

### ۶- ۳- زمین دماستنج گارفت - بیوتیت

در تصاویر سنگ‌نگاری (شکل‌های ۲، ۳ و ۴)، حضور دو کانی گارنت و بیوتیت در کنار هم مشاهده می‌شود. با توجه به تبادلات شیمیایی آنها از روش دماستنج گارنت - بیوتیت می‌توان برای محاسبه دمای تعادل این کانی‌ها بهره گرفت. این روش در طی ۴۰ سال گذشته با ارائه بیش از ۳۰ کالیبراسیون در حال گسترش بوده است (Frost, 1962). دگرگونی در سنگ‌های دگرگونی استفاده کرد. شرکت پذیری Mg و Fe در گارنت و بیوتیت هم‌زیست به دمای تعادل بستگی دارد. بدلیل حضور این زوج کانی در درجات گوناگون، از تبادل Mg و Fe به عنوان یک دماستنج، کاربرد سیار گستردگی دارد. در مطالعات سنگ‌شناسی شده است. این رابطه چندان تحت تأثیر فشار نبوده و برای مثال در دمای ۴۰۰ درجه سانتی گراد، در صورتی که فشار به اندازه یک کیلوبار افزایش یابد، مقدار ضربیت توزیع فقط به مقدار  $0/14$  تغییر می‌یابد. علاوه بر محاسبه

و فشار  $0/5 \pm 6/5$  کیلوبار به دست آمده است. اما در مقابل، Holdaway (1971) مقادیر  $5/05$  درجه سانتی گراد و فشار  $3/8$  را پیشنهاد داده است که اختلاف بسیاری با هم دارند. همچنین (1982) Salje and Werneke، دمای حدود  $4/40$  درجه سانتی گراد و فشار  $3/2$  کیلوبار؛ Pattison (1992) دمای  $5/55$  سانتی گراد و فشار حدود  $4/5$  کیلوبار و (Holdaway and Mukhopadhyay, 1993) دمای حدود  $5/4 \pm 2/0$  درجه سانتی گراد و فشار  $2/57 \pm 0/25$  کیلوبار را ارائه داده‌اند. در مطالعه Oganov et al. (2001)، پایداری آندالوزیت تا فشار  $5/2$  کیلوبار برآورده است. بنابراین، به نظر می‌رسد حضور آندالوزیت و سیلیمانیت معیار دقیقی برای تعیین مقادیر دما و فشار نیست. از این رuo، در مطالعه حاضر از روش‌های زمین فشارسنجی به منظور برآورده فشار در سنگ‌ها استفاده شده است.

در این مطالعه ابتدا از روش دماستنجی Ti موجود در بیوتیت‌ها استفاده شده و مقدار دما برای دو نمونه گارنت شیست و هورنفلس محاسبه شد. سپس بر اساس روش فشارسنجی گارنت - بیوتیت - مسکوویت - آلومینوسیلیکات - کوارتز، فشار محاسبه شده و از فشار مذکور در دماستنجی گارنت - بیوتیت و گارنت - مسکوویت و بررسی شرایط ترمودینامیکی حاکم بر دگرگونی سنگ‌های مورد مطالعه بهره گرفته شد. اما برای نمونه گارنت کلریتویید شیست که فاقد کانی بیوتیت بوده و محاسبه فشار با این روش در آن ممکن نبود، دما بر اساس بازه‌ای از تغییرات احتمالی فشار ( $3$  تا  $6$  کیلوبار) محاسبه شد.

پیش از انجام مطالعات دماستنجی گارنت - بیوتیت و گارنت - مسکوویت، لازم است مقدار فشار محاسبه شود تا بتوان از آن در محاسبات دماستنجی بهره برد. در نتیجه، برای انجام محاسبات مربوط به فشار از روش فشارسنجی GBMAQ استفاده شد که البته در فرمول محاسباتی این روش، دما نیز لحاظ شده است. بهمین دلیل و به منظور محاسبه دمای مورد نیاز در این فرمول، از روش دماستنجی تیتان موجود در بیوتیت استفاده شد. مزیت استفاده از این روش دماستنجی این است که نه تنها محاسبات آن مستقل از مقادیر فشار انجام می‌گیرند، بلکه ارادی دقت خوب و قابل قبولی نیز می‌باشد. به گونه‌ای که نتایج حاصل از آن با دماهایی که بعداً توسط روش معتبر گارنت - بیوتیت محاسبه شد، بسیار نزدیک و مشابه است.

### ۶- ۱- زمین دماستنج Ti موجود در بیوتیت

مقدار Ti موجود در بیوتیت، به عنوان تابعی از تغییرات دما در سنگ‌های دگرگونی شناخته شده است (Engel and Engel, 1960; Kwak, 1968; Robert, 1976; Dymek, 1983; Patino Douce, 1993). عواملی که بر مقدار Ti موجود در بیوتیت تأثیر می‌گذارند، صرفاً به تغییرات دما محدود نیستند؛ بلکه عوامل فشار، شیمی بلورهای بیوتیت و مجموعه کانی‌های همراه آنها نیز مهم است (Dymek, 1983; Henry and Guidotti, 2002). بهر حال، دما بیشترین تأثیر را بر روی کنترل مقدار Ti در بیوتیت دارد و افزایش فشار نیز تأثیر عکس دارد، به این معنی که مقدار Robert, 1976; Tronnes et al., 1985; (Henry et al., 2005; Arima and Edgar, 1981; Forbes and Flower, 1974) جایگزین شده با افزایش فشار، کاهش می‌یابد (Arima and Edgar, 1981; Abrecht and Hewitt, 1988). همچنین میزان Ti در بیوتیت، به طور کلی با افزایش مقدار Fe افزایش می‌یابد (Arima and Edgar, 1981).

البته این روش برای بررسی شرایط ترمودینامیکی سنگ‌های متابلیتی پرآلومین در فشارهای کم تا متوسط و نیز سنگ‌های دگرگونی پرآلومین، پیشنهاد شده است (Henry et al., 2005). فرمول این دماستنج را به صورت  $T(^{\circ}\text{C}) = [Ln(Ti) + 2.3594 + 1.7283(X_{Mg}^{3})]/(4.6482 \times 10^{-9})^{0.333}$  که در آن تعداد اتم‌های تیتانیم محاسبه شده در فرمول ساختاری (برحسب a.p.f.u.) بیوتیت بر اساس  $22$  اتم اکسیژن و  $X_{Mg} = (\text{Mg}/(\text{Mg} + \text{Fe}))^{0.6}$  است. این معادله برای  $T = 480 - 800 ^{\circ}\text{C}$  و  $Ti = 0.04 - 0.60$  a.p.f.u.  $X_{Mg} = 0.275$  (با خطای تقریبی  $24^{\circ}\text{C}$   $\pm 24^{\circ}\text{C}$ ) معتبر است (Henry et al., 2005).

گارنت کلریتویید شیست و عدم امکان محاسبه فشار به روش GBMAQ و در عین حال تأثیر فشار در محاسبات دمایی در روش گارنت - مسکوویت، مقدار فشار برای این کانی<sup>۳، ۴، ۵</sup> و ۶ کیلوبار فرض شده است و بر این اساس دما در هر یک از این فشارها جداگانه محاسبه شده است (جدول ۶).

همان‌گونه که مشاهده می‌شود، دامنه تغییرات مقادیر میانگین دمای دگرگونی که شیست‌های منطقه دمنو را تحت تأثیر قرار داده است، بسیار محدود و نزدیک بهم است. در حقیقت این دما برای گارنت شیست‌ها با استفاده از روش گارنت - مسکوویت به طور میانگین در حدود ۵۰۴ درجه سانتی گراد و برای نمونه مورد مطالعه گارنت کلریتویید شیست در حدود ۴۸۶ تا ۴۹۷ درجه سانتی گراد و برای نمونه هورنفلس در حدود ۴۸۹ درجه سانتی گراد است.

همچنین مشاهده می‌شود که در نمونه گارنت کلریتویید شیست، میانگین اختلاف همه نتایج دمایی بدست آمده از روش‌های گوناگون، در حدود ۱۰ درجه سانتی گراد، در محدوده فشار ۳ تا ۶ کیلوبار است. اما بیشترین مقدار تغییرات دما در این محدوده فشاری به‌وسیله روش Krogh and Raheim (1978) به‌دست آمده (در حدود ۴۲ درجه سانتی گراد) و کمترین تأثیر فشار، را می‌توان در روش دماسنجدی گارنت - مسکوویت (Wu and Zhao (2006) مشاهده کرد، که حدود ۰/۴ درجه سانتی گراد است.

## ۷- بحث و نتیجه‌گیری

مجموعه کانی‌های موجود در نمونه‌های گارنت کلریتویید شیست، گارنت شیست و هورنفلس، به صورت جدول ۲ هستند. بررسی کانی‌شناسی نشان می‌دهد مجموعه کانی‌های گارنت شیست‌ها دما و فشار بالاتری نسبت به دو نمونه دیگر دارند و حتی هورنفلس نیز که در فاصله نزدیک‌تری نسبت به توده تونالیتی قرار گرفته است، کانی‌شناسی دما پایین‌تری نسبت به گارنت شیست دارد. در حقیقت، کانی‌شناسی نمونه DH-GS نسبت به نمونه‌های DH-GCS و DH-H دارای تفاوت‌هایی است که موجب می‌شود روند تغییراتی کانی‌شناسی از سمت هاله دگرگونی (هورنفلس) به سمت گارنت کلریتویید شیست فاقد روند مستقیمی باشد. این مسئله توسط ترکیب شیمیابی کانی‌ها به خوبی مشخص می‌شود. برای مثال، میزان ترکیب Fe/Fe+Mg در بیوپتی‌های نمونه DH-GS در مقایسه با نمونه DH-H بالاتر است (شکل ۵-۵). افزون بر این، میزان Fe/Fe+Mg در مسکوویت‌ها از سمت نمونه DH-H به DH-GS کاهش یافته و سپس در نمونه‌های DH-GS به سمت DH-GCS افزایش می‌یابد. همچنین درصد آلماندین موجود در گارنت از نمونه DH-GS به سمت DH-GCS و سپس در نمونه DH-H به طور نسبی کاهش و بر عکس میزان اسپسارتین آنها افزایش یافته است (جدول‌های ۴ و ۵). فلدسپارهای نمونه DH-GS و DH-H به طور نسبی دارای CaO بالاتری نسبت به نمونه DH-GCS هستند (شکل ۵). بالا بودن نسبی Na<sub>2</sub>O در ترکیب فلدسپارهای نمونه‌های DH-GS و DH-H می‌تواند در رابطه با محلول‌های سدیم‌دار ناحیه دگرگونی همیری منطقه باشد. افزون بر این، میزان بالای Ca در فلدسپارها دلالت بر دمای بالای دگرگونی در نمونه DH-GS و حتی نمونه DH-H دارد. مطالعات زمین‌دماسنجدی صمدی (۱۳۸۷) حاکی از دمای دگرگونی پایین‌تر در نمونه DH-H نسبت به سنگ‌های مجاور است، بنابراین، عامل دمای دگرگونی نیز یکی دیگر از عوامل مؤثر بر کمتر بودن محتوای سدیم در فلدسپار این دو گروه سنگی نسبت به فلدسپار موجود در سنگ‌های مجاور است (یعنی در نمونه DH-GCS و حتی توده تونالیتی (صمدی، ۱۳۸۷)).

این اختلاف توسط مطالعات دماسنجدی نیز تأیید شده است (جدول ۶). به‌گونه‌ای که دمای میانگین تشکیل مجموعه کانی‌های نمونه هورنفلس پایین‌تر از گارنت شیست و به طور میانگین در حدود ۵۵۰ درجه سانتی گراد است، در حالی که میانگین دمای محاسبه شده در مورد گارنت شیست در حدود ۵۶۹ درجه سانتی گراد می‌باشد

Mn، Ca، Mn موجود در گارنت، Ti و Al موجود در بیوپتی نیز مورد توجه قرار گرفته است (Hodges and Spear, 1982; Dasgupta et al., 1991) گوناگون بیان شده است (Wu and Cheng, 2006).

این روش به عنوان یک روش مرسم در سنگ‌های دگرگونی مطرح است. در این مطالعه، برای محاسبه دما با روش گارنت - بیوپتی از کالیبراسیون‌های ارائه شده Hodges and Spear (1982) Ferry and Spear (1978) Thompson (1976) Perchuk and Lavrent'eva (1983) استفاده شده است. بر اساس بررسی‌های کانی‌شناسی و سنگ‌نگاری و داده‌های موجود، و نیز فشار به‌دست آمده از روش GBMAQ، متوسط دمای بدست آمده در مورد نمونه گارنت شیست و هورنفلس با استفاده از روش گارنت - بیوپتی به ترتیب به صورت ۶۱۰ و ۶۰ درجه سانتی گراد است (جدول ۶). این مقادیر بسیار نزدیک به دمای بدست آمده از روش دماسنجدی مستقل از فشار تیتانیم موجود در بیوپتی است (جدول ۶).

## ۶- زمین‌دماسنجد گارنت - مسکوویت

حضور مسکوویت در حاشیه بلورهای گارنت (شکل ۳-۵ و ۴-۵) و یا در درون آنها (گارنت کلریتویید شیست، شکل ۲-۴) به خوبی بیانگر وجود تعادل شیمیابی در میان این دو کانی است. بنابراین می‌توان از روابط تعادلی آنها بهره گرفت و با استفاده از روش دماسنجدی گارنت - مسکوویت، به محاسبه دمای تعادل این دو کانی پرداخت.

مسکوویت در بیشتر رخسارهای شیست سبز حضور دارد و بنابراین استفاده از دماسنجد گارنت - مسکوویت به منظور شناسایی شرایط دمایی متابلت‌ها، توالی‌های پیشرونده محدوده‌های دگرگونی معکوس و هالدهای تماس گرمایی دارای اهمیت است. اساس این زمین‌دماسنجد که تاکنون توسط Krogh and Raheim (1978) Wu et al. (2002) Hynes and Forest (1988), Green and Hellman (1982) مطالعه شده است بر تبادل Mg-Fe میان دو کانی مسکوویت و گارنت است. این زمین‌دماسنجد در شرایط دمایی ۴۵° الی ۷۶° درجه سانتی گراد و فشار ۰/۸ تا ۱۱/۱ کیلوبار با محدوده  $\pm 50$  درجه سانتی گراد کالیبره شده است (Wu and Zhao, 2006). زمین‌دماسنجد گارنت - مسکوویت برای سنگ‌های دگرگونی که میزان منزیم و آهن مسکوویت آنها به ترتیب کمتر از  $10/۳$  و بیشتر از  $۰/۰۴$  بر اساس ۱۱ اکسیژن باشد، پیشنهاد می‌شود که نمونه‌های منطقه مورد مطالعه در محدوده پیشنهادی قرار می‌گیرند. با توجه به مدل‌های ارائه شده توسط محققان مختلف، در این تحقیق از روش Wu and Zhao (2006) برای اندازه‌گیری دمای شیست‌های منطقه (جدول ۶) استفاده شده است که با فرض حضور یا عدم حضور آهن فریک در مسکوویت و توسط دو فرمول زیر محاسبه می‌شود:

واکنش مدل A (محاسبه دما با فرض عدم وجود آهن فریک):

$$T_{(a)}^{(K)} = \{2325.8 + P(kbar)[-0.1 - 13.5(Fe_b - Mg_b) - 0.0135(Fe_c - Mg_c) - 6541.2]\} \\ (X_{mus}^{Fe} - X_{Mus}^{Mg}) - 1127.7X_{mus}^{Al}\} / \{1 + 0.0135[R \ln K_{ideal}(1) + (Fe_a - Mg_a)]\}$$

واکنش مدل B (محاسبه دما در حالتی که درصد آهن کل، آهن فریک باشد):

$$T_{(b)}^{(K)} = \{2064.7 + P(kbar)[-0.7 - 9.8(Fe_b - Mg_b) - 0.0098(Fe_c - Mg_c) - 7077.9(X_{mus}^{Fe} - X_{Mus}^{Mg}) - 941.7X_{mus}^{Al}\} / \{1 + 0.0098[R \ln K_{ideal}(1) + (Fe_a - Mg_a)]\}\}$$

که در آنها پارامترهای Fe<sub>b</sub>, Fe<sub>c</sub>, Mg<sub>a</sub>, Mg<sub>b</sub>، Fe<sub>a</sub> و Mg<sub>c</sub> بیانگر ضرایب فعالیت گارنت و پلازیوکلاز هستند. به منظور دستیابی به مقادیر متغیرهای مذکور به پیوست مقاله Wu et al. (2004) مراجعه شود.

نتایج حاصل از محاسبه دما به روش زمین‌دماسنجد گارنت - مسکوویت در شیست‌های دمنو، در جدول ۶ ارائه شده‌اند. به لحاظ نبود یا مقدار ناچیز آهن فریک در گارنت‌های مورد مطالعه (جدول‌های ۴، ۳ و ۵)، از مدل A برای انجام محاسبات استفاده شد. همچنین با توجه به نبود داده‌های کانی‌شناسی کافی برای نمونه

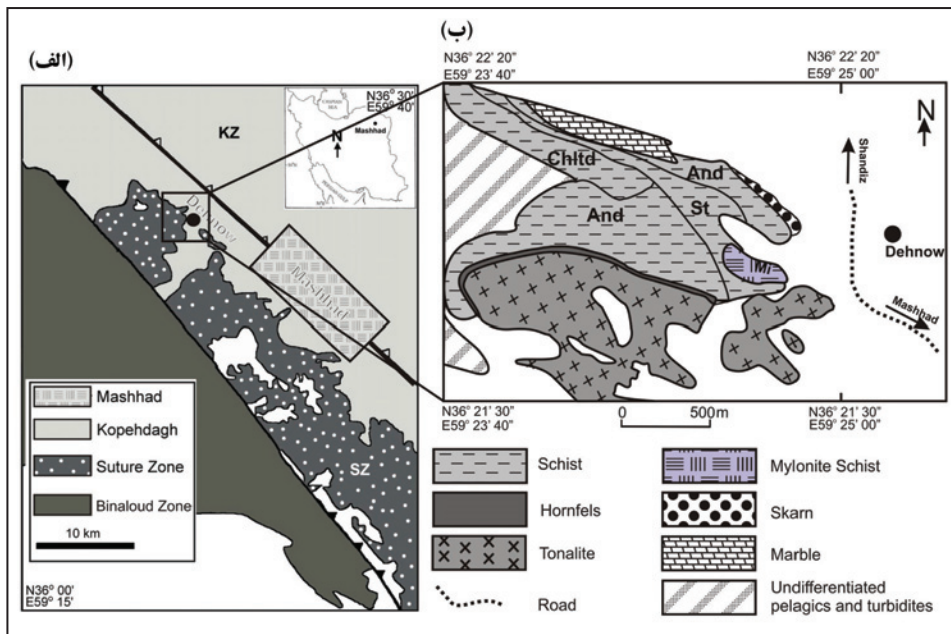
یک کانی در شیست، مؤثر باشد و حتی منجر به تغییر دمای محاسبه شده شود و بنابراین، دماهای به دست آمده، کمتر از دمای تحمل شده بر سنگ‌ها بوده باشد .(Putnis and John, 2010)

### سپاسکزاری

از همکاری‌های ارزنده مهندس رضا صمدی در انجام مطالعات صحرایی سپاسکزاری می‌شود.

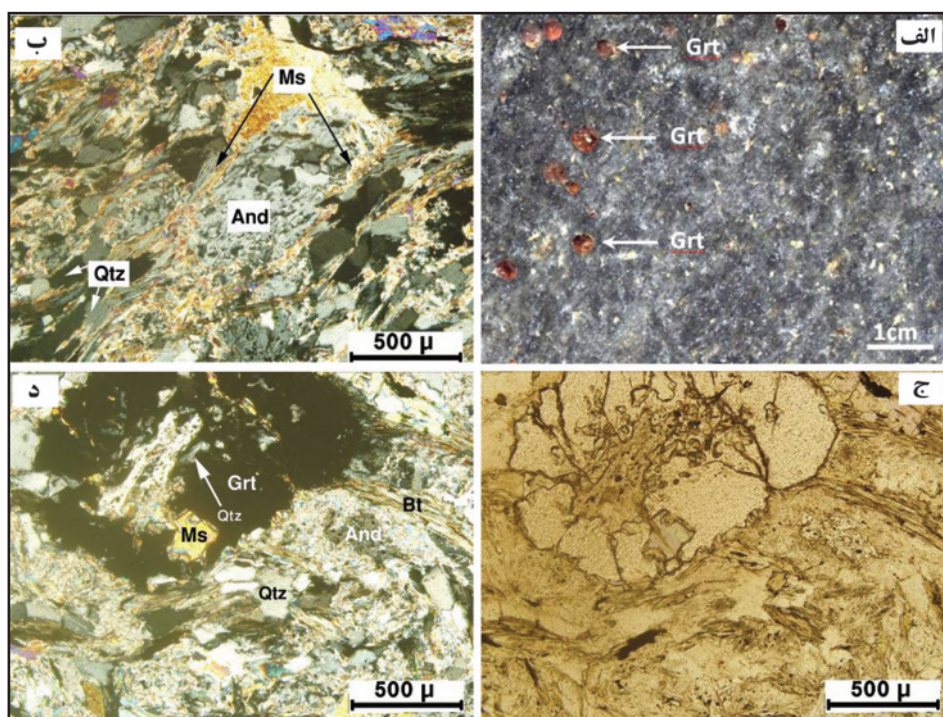
(جدول ۶). دمای میانگین اندازه گیری شده برای گارنت کلریتوبید شیست نیز حدود ۴۸۶ تا ۴۹۷ درجه سانتی گراد است. همچنین در مورد کاربرد روش گارنت-مسکوویت، مقادیر دمایی حدود ۱۰۰ درجه سانتی گراد کمتر از مقادیر حاصل از روش گارنت-بیوتیت است که این مسئله به دلیل محدوده پایداری پایین تر تشکیل مسکوویت در مقایسه با بیوتیت است.

با توجه به مجاورت هورنفلس با توده توپالیتی دهن، سیال‌های توده توپالیتی مذکور می‌توانسته در شدت دگرگونی برگشتی هورنفلس و وجود نسل‌های مختلف

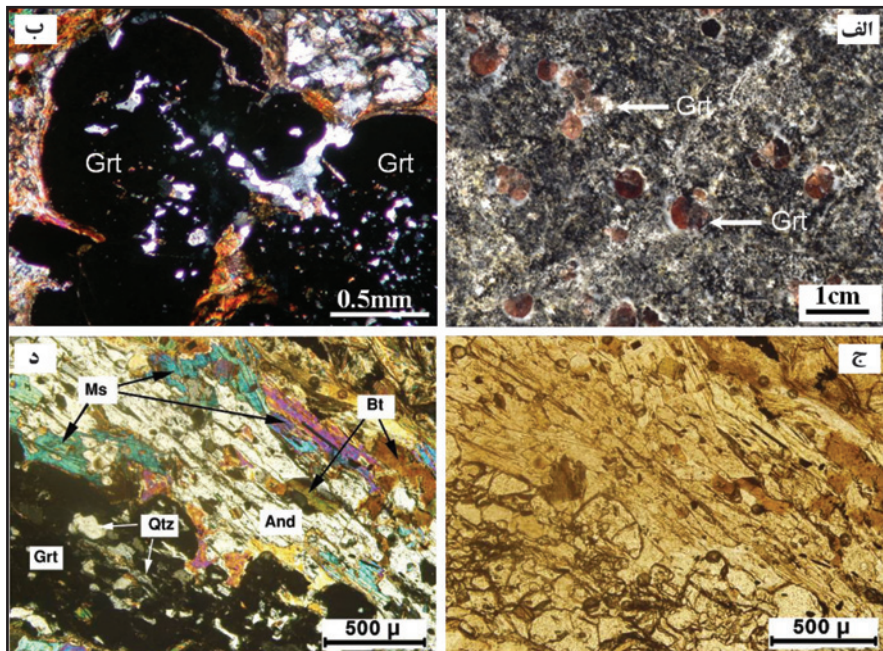


شکل ۱- نقشه زمین‌شناسی (الف) محدوده‌های ساختاری اصلی در شمال خاوری ایران (پس از Alavi, 1991)، ب) موقعیت منطقه مورد مطالعه در نقشه زمین‌شناسی ایران و نقشه زمین‌شناسی منطقه مورد مطالعه (اقباس از نقشه زمین‌شناسی ۱/۱۰۰۰۰۰ طربه، پورلطیفی، ۱۳۸۱).

Cld=chloritoid; St=Staurolite;  
And=Andalusite; BZ=Binaloud Zone;  
[SZ=Suture Zone; KZ=Kopehdagh Zone]

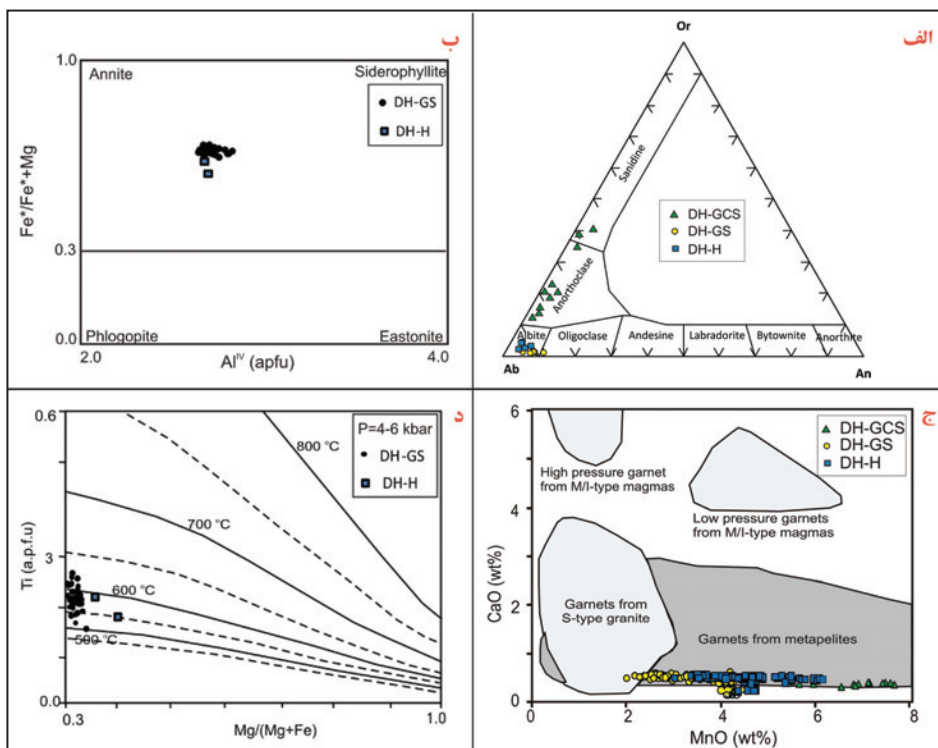
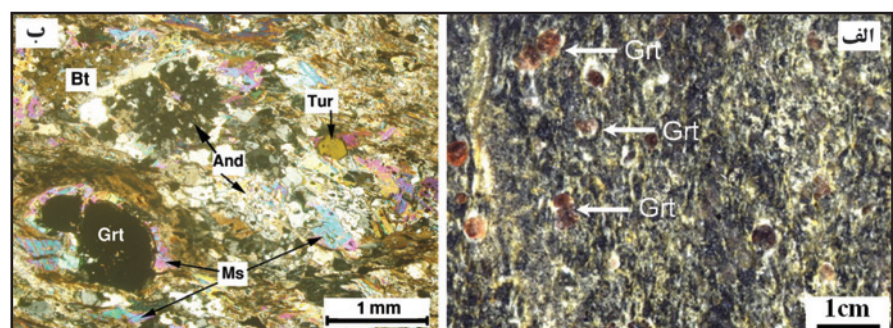


شکل ۲- (الف) نمایی از گارنت شیست کلریتوبیددار در نمونه دستی؛ ب) گارنت در تصویر XPL مسکوویت در اطراف بلورهای آندالوزیت؛ ج و د) ارتباط و حضور گارنت در کنار مسکوویت، بیوتیت و آندالوزیت در نمونه گارنت کلریتوبید شیست و حضور میانبار مسکوویت و کوارتز درون گارنت.



شکل ۳-الف) نمایی از گارنت شیست در نمونه دستی؛ ب) گارنت در تصویر XPL؛ ج و د) ارتباط و حضور گارنت در کنار مسکوویت، بیوتیت و آندالوزیت در نمونه گارنت شیست و حضور میابار مسکوویت و کوارتز درون گارنت.

شکل ۴- الف) نمایی از هورنفلس در نمونه دستی؛ ب) ارتباط و حضور گارنت در کنار مسکوویت، بیوتیت و آندالوزیت در نمونه هورنفلس؛ قطعه کوچکی از تورمالین در برش عرضی و به صورت شش گوش مشاهده می‌شود.



شکل ۵- الف) ترکیب فلدسپار موجود در شیستهای منطقه دمنو (Deer et al., 1962)؛ ب) ترکیب بیوتیت‌های موجود در نمونه گارنت شیست منطقه دمنو بر روی نمودار رده‌بندی بیوتیت‌ها (Deer et al., 1962)؛ ج) گارنت‌های موجود در سنگ‌های دگرگونی منطقه دمنو بر روی نمودار  $\text{CaO}$  در مقابل  $\text{MnO}$  (Harangi et al., 2001)؛ د) تعیین دمای بیوتیت‌ها با استفاده از دماستنج  $\text{Ti}$  در بیوتیت (Henry et al., 2005).

جدول ۱- مقادیر انحراف از معیار داده‌های مربوط به کانی‌ها (از مقادیر کمتر از  $10^{-3}$  چشمپوشی شده است).

Mineral Type	Sample Name	Number of points Data	Si	Al	Al <sup>IV</sup>	Al <sup>VI</sup>	Ti	Cr	Fe	Fe <sup>2+</sup>	Fe <sup>3+</sup>	Mg	Mn	Ca	Na	K	Average
Plagioclase	DH-GCS	7	0.016	0.019								0.008	0.039	0.028	0.018		
	DH-GS	7	0.008	0.011								0.015	0.030	0.002	0.013		
	DH-H	5	0.041	0.094								0.041	0.085	0.019	0.056		
Garnet	DH-GCS	31	0.012		0.008	0.010	0.002	0.001		0.116	0.007	0.127	0.015	0.005		0.030	
	DH-GS	94	0.013		0.011	0.010	0.004	0.001		0.030	0.012	0.044	0.029	0.009		0.016	
	DH-H	86	0.013	0.014			0.004	0.001		0.041	0.001	0.027	0.048	0.007		0.017	
Muscovite	DH-GCS	41	0.040	0.070	0.040	0.047	0.020	0.002	0.024			0.009	0.001	0.005	0.072	0.086	0.035
	DH-H	37	0.072	0.144	0.072	0.082	0.030		0.028			0.013	0.001	0.003	0.043	0.077	0.029
Biotite	DH-GS	42	0.036	0.088	0.036	0.077	0.024	0.002	0.073			0.073	0.003	0.011	0.010	0.076	0.051
	DH-H	3	0.069	0.004	0.035	0.061	0.002	0.056	0.002			0.035	0.035	0.035	0.035	0.035	0.042
Aluminosilicate	DH-GCS	4	0.006	0.010												0.034	
	DH-GS	17	0.009	0.012												0.008	
	DH-H	19	0.005	0.007												0.010	
<b>Average</b>		0.026	0.045	0.029	0.048	0.014	0.009	0.030	0.062	0.007	0.042	0.017	0.013	0.046	0.048	<b>0.029</b>	

جدول ۲- نامگذاری و کانی‌شناسی نمونه‌های شیست و هورنفلس مورد مطالعه.

نام سنگ	شماره مقطع مورد مطالعه	کانی‌شناسی
گارنت کلریتویید شیست	DH-GCS	کوارتز، فلدسپار، بیوتیت، مسکوکویت، گارنت، کلریتویید، تورمالین، کلریت، ایلمینیت
گارنت شیست	DH-GS	کوارتز، فلدسپار، بیوتیت، مسکوکویت، گارنت، آندالوزیت، زیرکن، ایلمینیت
هورنفلس	DH-H	کوارتز، فلدسپار، بیوتیت، مسکوکویت، گارنت، آندالوزیت، کلریتویید، تورمالین، سیلیمانیت (فیروزیت)، ایلمینیت

جدول ۳- نتایج تجزیه میکروپرورب کانی‌های موجود در نمونه گارنت کلریتویید شیست (مقطع شماره DH-GCS) دهنو (بر حسب wt%), محاسبه

فرمول ساختاری (بر حسب تعداد اتم اکسیژن به صورت (a.p.f.u. = Feldspar؛ Ms = مسکوکویت؛ Grt = گارنت).

Mineral Type	Feld	Feld	Feld	Feld	Ms	Ms	Ms	Ms	Grt	Grt	Grt	Grt	Als	Als	Als	Als	
Sample	232	241	250	303	234	235	236	237	237	251	252	253	254	328	329	330	339
SiO <sub>2</sub>	45.94	45.41	46.32	45.87	46.10	45.82	45.67	45.56	37.32	37.11	37.31	37.31	36.79	36.31	36.91	37.07	36.79
TiO <sub>2</sub>	0.06	0.07	0.03	0.07	0.13	0.09	0.62	0.36	0.06	0.05	0.00	0.03	0.01	0.04	0.04	0.02	
Al <sub>2</sub> O <sub>3</sub>	39.78	38.25	39.78	39.13	36.87	37.01	35.98	36.46	20.98	21.35	21.25	21.45	61.40	61.55	61.17	61.78	
Cr <sub>2</sub> O <sub>3</sub>	0.03	0.00	0.00	0.00	0.01	0.01	0.00	0.00	0.00	0.01	0.00	0.03	0.01	0.02	0.00	0.00	
FeO	0.26	0.31	0.39	0.29	0.91	0.99	1.07	1.06	34.58	34.20	33.75	32.54	0.84	0.76	1.19	1.44	
MnO	0.01	0.00	0.00	0.00	0.00	0.01	0.00	5.53	5.98	6.82	8.17	0.05	0.02	0.04	0.18		
MgO	0.04	0.05	0.06	0.05	0.19	0.21	0.30	0.27	1.04	1.14	1.26	1.32	0.02	0.03	0.10	0.02	
CaO	0.82	0.34	0.40	0.58	0.02	0.01	0.02	0.05	0.38	0.32	0.31	0.33	0.03	0.00	0.04	0.00	
Na <sub>2</sub> O	5.75	6.27	6.56	5.95	1.77	2.08	1.49	1.58	0.03	0.05	0.02	0.04	0.00	0.03	0.03		
K <sub>2</sub> O	2.30	2.41	1.35	2.17	8.42	8.16	8.83	8.88	0.02	0.03	0.00	0.00	0.01	0.00	0.01	0.00	
Total	94.99	93.10	94.89	94.11	94.41	93.61	94.41	94.38	99.94	100.22	100.76	100.65	98.75	99.33	99.71	100.27	
Oxy. No.	8	8	8	8	22	22	22	22	12	12	12	12	5	5	5	5	
Si	2.16	2.18	2.17	2.17	6.12	6.09	6.11	6.09	3.02	3.00	3.01	2.97	1.00	1.01	1.01	1.00	
Ti	0.00	0.00	0.00	0.00	0.01	0.01	0.06	0.04	0.00	0.00	0.00	0.00	0.00	0.00	0.00	0.00	
Al	2.20	2.16	2.19	2.18	5.77	5.79	5.68	5.74	2.01	2.04	2.02	2.05	1.99	1.98	1.96	1.98	
Al <sup>IV</sup>					1.88	1.91	1.89	1.91	0.00	0.00	0.00	0.03					
Al <sup>VI</sup>					3.89	3.88	3.79	3.83	2.01	2.04	2.02	2.02					
Cr	0.00	0.00	0.00	0.00	0.00	0.00	0.00	0.00	0.00	0.00	0.00	0.00	0.00	0.00	0.00	0.00	
Fe	0.01	0.01	0.02	0.01	0.10	0.11	0.12	0.12	2.40	2.37	2.32	2.26	0.02	0.02	0.03	0.03	
Fe <sup>2+</sup>					0.10	0.11	0.12	0.12	2.40	2.37	2.32	2.23					
Fe <sup>3+</sup>					0.00	0.00	0.00	0.00	0.00	0.00	0.00	0.02					
Mn	0.00	0.00	0.00	0.00	0.00	0.00	0.00	0.00	0.38	0.41	0.47	0.56	0.00	0.00	0.00	0.00	
Mg	0.00	0.00	0.00	0.00	0.04	0.04	0.06	0.05	0.13	0.14	0.15	0.16	0.00	0.00	0.00	0.00	
Ca	0.04	0.02	0.02	0.03	0.00	0.00	0.01	0.03	0.03	0.03	0.03	0.03	0.00	0.00	0.00	0.00	
Na	0.52	0.58	0.59	0.55	0.45	0.54	0.39	0.41	0.00	0.00	0.00	0.00	0.00	0.00	0.00	0.00	
K	0.14	0.15	0.08	0.13	1.42	1.38	1.51	1.51	0.00	0.00	0.00	0.00	0.00	0.00	0.00	0.00	
OH*					4.00	4.00	4.00	4.00									

## ادامه جدول ۳

Mineral Type	Feld	Feld	Feld	Feld	Ms	Ms	Ms	Grt	Grt	Grt	Grt	Als	Als	Als	Als	
Sample	232	241	250	303	234	235	236	237	251	252	253	254	328	329	330	339
Total	5.07	5.10	5.07	5.08	17.92	17.96	17.93	17.97	7.98	7.99	7.99	8.01	3.01	3.00	3.01	3.01
Fe/Fe+Mg					0.71	0.73	0.66	0.70	0.94	0.94	0.94	0.93				
Anorthite	5.89	2.33	2.88	4.19												
Albite	74.48	77.98	85.55	77.29												
Orthose	19.63	19.70	11.56	18.52												
Almandine									81.67	80.51	78.24	74.89				
Andradite									0.00	0.00	0.00	0.01				
Grossular									1.14	0.94	0.88	0.96				
Pyrope									4.27	4.66	5.13	5.34				
Spessartine									12.92	13.89	15.74	18.81				
Uvarovite									0.00	0.00	0.02	0.00				

جدول ۴- نتایج تجزیه میکروپروب کانی‌های موجود در گارنت شیست (قطع شماره DH-GS) دمنو (بر حسب wt%)، محاسبه فرمول ساختاری (بر حسب تعداد اتم اکسیژن و به صورت a.p.f.u.)  
 (Feld = فلدسپار؛ Ms = مسکوویت؛ Bt = بیوتیت؛ Grt = گارنت؛ And = آندالوزیت).

Mineral Type	Feld	Feld	Feld	Feld	Ms	Ms	Ms	Bt	Bt	Bt	Bt	Grt	Grt	Grt	And	And	And	And		
Sample	766	767	768	770	675	743	745	746	672	674	677	678	679	680	681	682	801	802	902	904
SiO <sub>2</sub>	64.26	64.68	64.62	64.96	45.22	46.11	45.51	45.42	33.59	34.01	33.92	33.76	36.00	37.21	37.19	36.87	36.15	36.04	36.68	36.93
TiO <sub>2</sub>	0.02	0.00	0.08	0.00	0.43	0.46	0.81	0.85	1.72	2.21	1.89	1.91	0.07	0.06	0.08	0.11	0.34	0.04	0.02	0.05
Al <sub>2</sub> O <sub>3</sub>	21.80	21.44	21.16	21.55	36.20	36.10	35.40	35.90	19.61	19.72	19.81	19.79	21.47	21.27	21.56	21.49	61.90	62.06	62.36	61.80
Cr <sub>2</sub> O <sub>3</sub>	0.00	0.00	0.00	0.00	0.03	0.01	0.00	0.03	0.01	0.04	0.01	0.05	0.06	0.01	0.02	0.03	0.03	0.01	0.07	
FeO	0.50	0.29	0.38	0.22	0.91	1.74	1.14	0.91	23.34	23.57	22.89	23.55	36.35	36.86	36.79	37.05	0.60	0.47	0.28	0.70
MnO	0.01	0.03	0.00	0.01	0.00	0.11	0.01	0.00	0.03	0.06	0.09	0.10	4.19	2.98	2.96	2.68	0.00	0.01	0.02	0.00
MgO	0.06	0.00	0.04	0.01	0.32	0.37	0.38	0.39	6.30	5.97	6.21	6.33	1.22	1.96	1.99	2.06	0.01	0.04	0.01	0.04
CaO	2.25	1.90	1.71	1.89	0.02	0.09	0.02	0.03	0.22	0.11	0.26	0.16	0.19	0.47	0.41	0.43	0.00	0.02	0.02	0.02
Na <sub>2</sub> O	9.89	10.66	10.71	10.61	1.62	1.56	1.39	1.58	0.28	0.32	0.35	0.30	0.04	0.04	0.00	0.05	0.02	0.01	0.01	
K <sub>2</sub> O	0.14	0.07	0.12	0.09	8.30	8.37	8.90	8.58	6.89	7.50	7.32	7.39	0.07	0.03	0.00	0.01	0.09	0.08	0.02	0.01
Total	98.92	99.08	98.82	99.35	93.05	94.92	93.56	93.68	91.99	93.52	92.75	93.34	99.65	100.88	101.01	100.73	99.18	98.83	99.45	99.64
Oxy. No.	8	8	8	8	22	22	22	22	22	22	22	12	12	12	5	5	5	5	5	
Si	2.86	2.88	2.88	2.88	6.09	6.12	6.13	6.09	5.34	5.32	5.34	5.30	2.94	2.98	2.96	0.99	0.99	1.00	1.00	
Ti	0.00	0.00	0.00	0.00	0.04	0.05	0.08	0.09	0.21	0.26	0.22	0.23	0.00	0.00	0.00	0.01	0.00	0.00	0.00	
Al	1.14	1.12	1.11	1.12	5.75	5.65	5.62	5.68	3.67	3.64	3.67	3.66	2.07	2.02	2.04	1.99	2.00	2.00	1.98	
Al <sup>iv</sup>					1.91	1.88	1.87	1.91	2.66	2.68	2.66	2.70	0.05	0.00	0.02	0.03				
Al <sup>vi</sup>					3.84	3.77	3.75	3.77	1.01	0.96	1.01	0.97	2.02	2.01	2.02					
Cr	0.00	0.00	0.00	0.00	0.00	0.00	0.00	0.00	0.00	0.01	0.01	0.00	0.00	0.00	0.00	0.00	0.00	0.00	0.00	
Fe	0.02	0.01	0.01	0.01	0.10	0.19	0.13	0.10	3.10	3.09	3.01	3.09	2.59	2.50	2.51	0.01	0.01	0.01	0.02	
Fe <sup>2+</sup>					0.10	0.19	0.13	0.10	3.10	3.09	3.01	3.09	2.53	2.50	2.50	2.52				
Fe <sup>3+</sup>					0.00	0.00	0.00	0.00	0.00	0.00	0.00	0.00	0.05	0.00	0.01	0.02				
Mn	0.00	0.00	0.00	0.00	0.00	0.01	0.00	0.00	0.00	0.01	0.01	0.01	0.29	0.20	0.20	0.18	0.00	0.00	0.00	
Mg	0.00	0.00	0.00	0.00	0.06	0.07	0.08	0.08	1.49	1.39	1.46	1.48	0.14	0.23	0.23	0.24	0.00	0.00	0.00	
Ca	0.11	0.09	0.08	0.09	0.00	0.01	0.00	0.00	0.04	0.02	0.04	0.03	0.00	0.00	0.00	0.00	0.00	0.00	0.00	
Na	0.85	0.92	0.93	0.91	0.42	0.40	0.36	0.41	0.09	0.10	0.11	0.09	0.00	0.00	0.00	0.00	0.00	0.00	0.00	
K	0.01	0.00	0.01	0.01	1.43	1.42	1.53	1.47	1.40	1.50	1.47	1.48	0.01	0.04	0.03	0.00	0.00	0.00	0.00	
OH*	0.00	0.00	0.00	0.00	4.00	4.00	4.00	4.00	4.00	3.99	4.00	3.99								
Total	5.00	5.02	5.03	5.02	17.91	17.92	17.93	17.92	19.39	19.46	19.45	19.47	8.02	8.00	8.00	8.01	3.01	3.01	3.00	3.01
Fe/Fe+Mg					0.62	0.73	0.61	0.55	0.67	0.68	0.67	0.67	0.94	0.91	0.91	0.91				
Anorthite	11.10	8.92	8.03	8.93									84.52	83.97	84.08	84.26				
Albite	88.11	90.68	91.30	90.56									0.03	0.00	0.00	0.01				
Orthose	0.79	0.39	0.66	0.51									0.36	1.33	1.13	1.16				
Almandine													5.07	7.87	7.99	8.33				
Andradite													9.85	6.81	6.75	6.16				
Grossular													0.21	0.02	0.05	0.10				
Pyrope																				
Spessartine																				
Uvarovite																				

جدول ۵- نتایج تجزیه میکروپروروب کانی های موجود در نمونه هورنفلس (مقطع شماره H-DH) دهنو (بر حسب Wt%)، محاسبه فرمول ساختاری (بر حسب تعداد اتم اکسیژن و به صورت a.p.f.u.

Mineral Type	Feld	Feld	Feld	Feld	Ms	Ms	Ms	Bt	Bt	Bt	Bt	Grt	Grt	Grt	And	And	And	And		
Sample	85	86	87	183	45	32	41	42	41	42	45	49	16	17	18	19	33	34	36	37
SiO <sub>2</sub>	63.50	64.66	64.18	65.18	45.29	45.41	45.76	46.07	45.76	46.07	45.29	46.86	37.43	37.27	37.28	37.26	36.85	37.17	36.70	36.77
TiO <sub>2</sub>	0.01	0.00	0.00	0.00	0.48	0.85	0.44	0.44	0.44	0.44	0.48	0.03	0.14	0.08	0.07	0.02	0.01	0.00	0.04	0.07
Al <sub>2</sub> O <sub>3</sub>	22.37	22.28	21.63	20.96	36.07	36.03	36.60	36.15	36.60	36.15	36.07	36.64	21.48	21.43	21.51	21.36	62.19	61.66	61.70	61.74
Cr <sub>2</sub> O <sub>3</sub>	0.00	0.00	0.00	0.00	0.01	0.05	0.00	0.03	0.00	0.03	0.01	0.02	0.04	0.03	0.04	0.02	0.01	0.02	0.02	0.04
FeO	0.16	0.14	0.20	0.30	1.61	1.01	0.85	0.99	0.85	0.99	1.61	1.08	36.24	35.86	35.67	35.86	0.35	0.30	0.38	0.57
MnO	0.01	0.00	0.00	0.00	0.00	0.00	0.01	0.00	0.01	0.00	0.00	0.01	3.03	3.54	4.11	4.66	0.00	0.00	0.00	0.00
MgO	0.05	0.04	0.00	0.02	0.42	0.40	0.32	0.38	0.32	0.38	0.42	0.32	2.11	1.99	2.01	1.51	0.02	0.00	0.01	0.03
CaO	0.99	2.39	2.37	1.40	0.01	0.02	0.02	0.04	0.02	0.04	0.01	0.01	0.43	0.42	0.42	0.31	0.01	0.02	0.00	0.00
Na <sub>2</sub> O	10.18	9.38	10.40	10.76	1.70	1.41	1.98	1.69	1.98	1.69	1.70	1.27	0.00	0.01	0.04	0.00	0.00	0.01	0.03	
K <sub>2</sub> O	0.82	0.09	0.07	0.05	8.30	8.79	8.32	8.50	8.32	8.50	8.30	8.65	0.02	0.00	0.01	0.02	0.04	0.00	0.00	0.01
Total	98.09	98.99	98.86	98.67	93.89	93.98	94.32	94.28	94.32	94.28	93.89	94.91	100.93	100.64	101.16	101.01	99.50	99.18	98.87	99.26
Oxy. No.	8	8	8	8	22	22	22	22	22	22	22	12	12	12	12	5	5	5	5	
Si	2.85	2.86	2.86	2.90	6.08	6.08	6.09	6.13	6.09	6.13	6.08	6.18	3.00	3.00	2.99	3.00	1.00	1.01	1.00	1.00
Ti	0.00	0.00	0.00	0.00	0.05	0.09	0.04	0.04	0.04	0.04	0.05	0.00	0.01	0.00	0.00	0.00	0.00	0.00	0.00	0.00
Al	1.18	1.16	1.14	1.10	5.70	5.69	5.74	5.67	5.74	5.67	5.70	2.03	2.03	2.03	2.03	1.99	1.98	1.99	1.98	1.98
Al <sup>iv</sup>					1.92	1.92	1.91	1.87	1.91	1.87	1.92	1.82								
Al <sup>vi</sup>					3.78	3.77	3.83	3.81	3.83	3.81	3.78	3.88								
Cr	0.00	0.00	0.00	0.00	0.00	0.01	0.00	0.00	0.00	0.00	0.00	0.00	0.00	0.00	0.00	0.00	0.00	0.00	0.00	0.00
Fe	0.01	0.01	0.01	0.01	0.18	0.11	0.10	0.11	0.10	0.11	0.18	0.12	2.43	2.42	2.39	2.42	0.01	0.01	0.01	0.01
Fe <sup>2+</sup>					0.11	0.10	0.11	0.10	0.11	0.18	0.12	2.43	2.42	2.39	2.42					
Fe <sup>3+</sup>					0.00	0.00	0.00	0.00	0.00	0.00	0.00	0.00	0.00	0.00	0.00	0.00				
Mn	0.00	0.00	0.00	0.00	0.00	0.00	0.00	0.00	0.00	0.00	0.00	0.21	0.24	0.28	0.32	0.00	0.00	0.00	0.00	0.00
Mg	0.00	0.00	0.00	0.00	0.08	0.08	0.06	0.08	0.06	0.08	0.08	0.06	0.25	0.24	0.24	0.18	0.00	0.00	0.00	0.00
Ca	0.05	0.11	0.11	0.07	0.00	0.00	0.00	0.01	0.00	0.01	0.00	0.04	0.04	0.04	0.03	0.00	0.00	0.00	0.00	0.00
Na	0.89	0.81	0.90	0.93	0.44	0.37	0.51	0.44	0.51	0.44	0.44	0.33	0.00	0.00	0.01	0.00	0.00	0.00	0.00	0.00
K	0.05	0.01	0.00	0.00	1.42	1.50	1.41	1.44	1.41	1.44	1.42	1.46	0.00	0.00	0.00	0.00	0.00	0.00	0.00	0.00
OH*					4.00	4.00	4.00	4.00	4.00	4.00	4.00	4.00								
Total	5.02	4.96	5.02	5.01	17.96	17.92	17.96	17.92	17.96	17.92	17.96	17.85	7.97	7.98	7.99	7.98	3.00	3.00	3.00	3.00
Fe/Fe+Mg					0.69	0.57	0.62	0.61	0.62	0.57	0.69	0.66	0.90	0.90	0.90	0.92				
Anorthite	4.88	12.28	11.16	6.68																
Albite	90.31	87.15	88.47	93.02																
Orthose	4.81	0.57	0.37	0.31																
Almandine													83.07	82.37	81.15	82.12				
Andradite													0.00	0.00	0.00	0.00				
Grossular													1.26	1.24	1.22	0.92				
Pyrope													8.63	8.17	8.15	6.16				
Spessartine													7.05	8.23	9.47	10.80				
Uvarovite													0.00	0.00	0.00	0.00				

#### جدول ۶- خلاصه نتایج دمافارسنجی هورنفلس و شیستهای منطقه دهنو.

Samples	DH- GCS		DH- GS		DH- H		Comment
T (°C) Ti in Biotite			593		562		
Henry et al. (2005)							
Henry et al. (2005)*			~500-630		~550-600		
P (kbar)**	3	4	5	6	5.3	4.3	
T (°C) Garnet-Biotite							
Holdaway & Lee (1977)			601		593		
Perchuk & Lavrent'eva (1983)			601		595		
Ferry & Spear (1978)			612		599		
Hodges & Spear (1982)			618		599		Garnet model: HW
Thompson (1976)			619		613		Garnet model: GS
Average T of GB (°C)			610		600		
T (°C) Garnet-Muscovite							
Krogh & Raheim (1978)	437	451	465	479	480	455	
Wu & Zhao (2006)	479.3	479.4	479.6	479.7	491	478	Model A (no ferric Fe <sup>3+</sup> )
Wu et al. (2002)	548	549	550	551	552	543	Model A (no ferric Fe <sup>3+</sup> )
Average T of GM (°C)	486	490	494	497	504	489	
Average calculated T (°C)	486	490	494	497	569	550	

\*\* P-estimation for DH-GS and DH-H done by GBMAQ barometer Ti in biotite (Fig. 4C); \*On the empirical graphic diagram of Ti vs. Mg/(Mg + Fe) Thermometer. Pressure is supposed in a range of 3 to 6 kbar for DH-GCS.

## کتابنگاری

- اسماعیلی، د.، کعنایان، ع.، ولیزاده، م. و.، ۱۳۸۲- پلی متامورفیسم در اطراف گرانیت‌های جنوب مشهد، دومین همایش انجمن زمین‌شناسی ایران، بهاری‌فر، ع.ا.، هاتفی، ر.، مظاہری، ا.، معین‌وزیری، ح.، ۱۳۸۴- دگرگشکلی و ارتباط آن با تبلور کانی‌های دگرگونی در منطقه دهنو (مشهد- خراسان). نهمین همایش انجمن زمین‌شناسی ایران.
- پورلطیفی، ا.، ۱۳۸۱- نقشه زمین‌شناسی ورقه ۱:۱۰۰۰۰ طرقه، سازمان زمین‌شناسی ایران.
- شیردشت‌زاده، ن.، صمدی، ر.، ۱۳۸۹- آشنایی با روش‌های زمین‌دانستجی و زمین‌فشارسنجی، اصفهان، ۹۹ صفحه.
- صمدی، ر.، ۱۳۸۷- بررسی منشأ مگاکریست‌های گارنت موجود در توپالیت دهنو، شمال‌غرب مشهد، پایان‌نامه کارشناسی ارشد، دانشگاه تهران، ۱۷۹ صفحه.
- صمدی، ر.، شیردشت‌زاده، ن.، ۱۳۸۹- گارنت (مفاهیم کانی‌شناسی، خاستگاه و دما‌فشارسنجی)، مشهد، ۱۰۶ صفحه.
- هاتفی، ر.، ۱۳۸۲- مطالعه سنگ‌های دگرگونی ناحیه‌ای و توده‌های نفوذی منطقه دهنو (شمال‌غرب مشهد)، پایان‌نامه کارشناسی ارشد، دانشگاه تربیت معلم تهران، ۱۱۲ صفحه.
- همام، م.، قائمی، ف.، ۱۳۸۷- ساز و کار تشكیل فیروزیت در هاله دگرگونی گرانیت مشهد، فصل‌نامه بلور‌شناسی و کانی‌شناسی ایران، سال شانزدهم، شماره ۱، صفحه ۱۵۹-۱۶۸.

## References

- Abrecht, J. & Hewitt, D. A., 1988- Experimental evidence on the substitution of Ti in biotite. *American Mineralogist*, 73: 1275-1284.
- Alavi, M., 1991- Sedimentary and structural characteristics of the Paleo-Tethys remnants in northeastern Iran. *Geological Society of America Bulletin*, 103: 983-992.
- Alberti, A. & Nicoletti, M. & Petrucciani, C., 1973- K/Ar ages of micas of Mashhad granites (Khorasan, North-Eastern Iran). *Period, Mineralogy*, 42: 483-493.
- Althaus, E., 1967- The triple point andalusite-sillimanite-kyanite: An experimental and petrologic study. *Contributions to Mineralogy and Petrology*, 16: 29-44.
- Arima, M. & Edgar, A. D., 1981- Substitution mechanisms and solubility of titanium in phlogopites from rocks of probable mantle origin. *Contributions to Mineralogy and Petrology*, 77: 288-295.
- Bucher, K. & Frey, M., 2002- Petrogenesis of Metamorphic Rocks. Berlin, Heidelberg, New York, Springer-Verlag, 7th edition, 341 p.
- Dasgupta, S., Sengupta, P., Guha, D. & Fukuoka, M., 1991- A refined garnet-biotite Fe-Mg exchange geothermometer and its application in amphibolites and granulites. *Contributions to Mineralogy and Petrology*, 109: 130-137.
- Deer, W. A., Howie, R. A. & Zussman, J., 1962- Rock Forming Minerals. Volume 3, Sheet Silicates. Wiley, 270 p.
- Deer, W. A., Howie, R. A. & Zussman, J., 1997- Rock Forming Minerals. Volume 2B. Double-Chain Silicates. Geological Society, London, 2nd edition, 764 p.
- Deer, W. A., Howie, R. A. & Zussman, J., 1992- An Introduction to the Rock forming Minerals. Second Editions, Longman, London, 696 p.
- Droop, G. T. R., 1987- A general equation for estimating  $Fe^{3+}$  vacancy-ordering and Fe-oxidation. *Geological Society of America*, 31(7): 170.
- Dymek, R. F., 1983- Titanium, aluminum and interlayer cation substitutions in biotite from high-grade gneisses, West Green land. *American Mineralogist*, 68: 880-899.
- Engel, A. E. J. & Engel, C. G., 1960- Progressive metamorphism and granitization of the major paragneiss, northwest Adirondack Mountains. New York, Part 2. *Mineralogy Bulletin of the Geological Society of America*, 71: 1-58.
- Ferry, J. M. & Spear, F. S., 1978- Experimental calibration of the partitioning of Fe and Mg between biotite and garnet. *Contributions to Mineralogy and Petrology*, 66: 113-117.
- Forbes, W. C. & Flower, M. F. J., 1974- Phase relations of titan-phlogopite,  $K_2Mg_4TiAl_2Si_6O_2(OH)_4$ : A refractory phase in the upper mantle. *Earth and Planetary Science Letters*, 22: 60 - 66.
- Frost, J., 1962- Metamorphic grade and iron-magnesium distribution between coexisting garnet-biotite and garnet-hornblende. *Geological Magazine*, 99: 427-438.
- Green, T. H. & Hellman, P. L., 1982- Fe-Mg partitioning between coexisting garnet and phengite at high pressure, and comments on a garnet-phengite geothermometer. *Lithos*, 15: 253-266.
- Harangi, S. Z., Downes, H., Kosa, L., Szabo, C. S., Thirlwall, M. F., Mason, P. R. D. & Matthey, D., 2001- Almandine Garnet in Calc-Alkaline Volcanic Rocks of the Pannonian Basin (Eastern-Central Europe): Geochemistry, Petrogenesis and Geodynamic Implications. *Journal of Petrology*, 42(10): 1813-1843.
- Henry, D. J., Guidotti, C.V. & Thomson, J. A., 2005- The Ti saturation surface for low to medium pressure metapelitic biotite: Implications for Geothermometry and Ti-substitution Mechanisms. *American Mineralogist*, 90: 316-328.
- Henry, D. J. & Guidotti, C. V., 2002- Ti in biotite from metapelitic rocks: Temperature effects, crystallochemical controls and petrologic applications. *American Mineralogist*, 87: 375-382.
- Hodges, K. V. & Spear, F. S., 1982- Geothermometry, geobarometry and the  $Al_2SiO_5$  triple point at Mt. Moosilauke, New Hampshire. *American Mineralogist*, 67(11/12): 1118-1134.

- Holdaway, M. J. & Mukhopadhyay, B., 1993- Are-evaluation of the stability relations of andalusite: thermochemical data and phase diagram for the alumino silicates. *American Mineralogist*, 78: 298-315.
- Holdaway, M. J., 1971- Stability of andalusite and the aluminum silicate phase diagram. *American Journal of Science*, 271: 97-131
- Holdaway, M. J., 2000- Application of new experimental and garnet Margules data to the garnet-biotite geothermometer. *American Mineralogist*, 85: 881-892.
- Holdaway, M. J., 2001- Recalibration of the GASP geobarometer in light of recent garnet and plagioclase activity models and versions of the garnet-biotite geothermometer. *American Mineralogist*, 86: 1117-1129.
- Hynes, A. & Forest, R. C., 1988- Empirical garnet-muscovite geothermometry in low-grade metapelites, Selwyn Range (Canadian Rockies). *Journal of Metamorphic Geology*, 6: 297- 309.
- Karimpour, M. H., Stern, C. R. & Farmer, L., 2010- Zircon U-Pb geochronology, Sr-Nd isotope analyses, and petrogenetic study of the Dehnow diorite and Kuhsangi granodiorite (Paleo-Tethys), NE Iran. *Journal of Asian Earth Sciences*, 37: 384-393.
- Kretz, R., 1983- Symbols for rock forming minerals. *American Mineralogist*, 68(1/2): 277-279.
- Krogh, E. J. & Raheim, A., 1978- Temperature and pressure dependence of Fe-Mg partitioning between garnet and phengite, with particular references to eclogites. *Contributions to Mineralogy and Petrology*, 66(1): 75-80.
- Kwak, T. A. P., 1968- Ti in biotite and muscovite as an indication of metamorphic grade in almandine amphibolite facies rocks from Sudbury, Ontario. *Geochimica et Cosmochimica Acta*, 32: 1222-1229.
- Lammerer, B., Langheinrich, G. & Danai, M., 1983- The tectonic evolution of Binaloud mountains. Geodynamic project (Geotraverse) in Iran. Geological Survey of Iran, Report no. 51: 519 p.
- Majidi, B., 1978- Etude Petrostructurale de la ergion de Mashhad (Iran). These docteur. Ingenieuer, Univ. Sci. ct. Med. de Grenoble, France, 277 p.
- Oganov, A. R., Price, G. D. & Brodholt, J. P., 2001- Theoretical investigation of metastable  $\text{Al}_2\text{SiO}_5$  polymorphs. *Acta Crystallography*, A57: 548-557.
- Patiño, D. A. E., 1993- Titanium substitution in biotite: an empirical model with applications to thermometry,  $\text{O}_2$  and  $\text{H}_2\text{O}$  barometries, and consequences form biotite stability. *Chemical Geology*, 108: 133-162.
- Putnis, A. & John, T., 2010- Replacement Processes in the Earth's Crust. *Elements*, 6: 159-164.
- Pattison, D. R. M., 1992- Stability of andalusite and sillimanite and the  $\text{Al}_2\text{SiO}_5$  triple point: Constraints from the Ballachulish aureole, Scotland. *Journal of Geology*, 100: 423 446.
- Perchuk, L. L. & Lavrent'eva, I. V., 1983- Experimental investigation of exchange equilibria in the system cordierite-garnet-biotite. Pp. 199- 239 in: Kinetics and Equilibrium in Mineral Reactions (S.K. Saxena, editor). Advances in Physical Geochemistry, 3, Springer, New York.
- Robert, J. L., 1976- Titanium solubility in synthetic phlogopite solid solutions. *Chemical Geology*, 17: 213-227.
- Salje, E. & Werneke, C., 1982- The phase equilibrium between sillimanite and andalusite as determined from lattice vibrations. *Contributions to Mineralogy and Petrology*, 79: 56-67.
- Spear, F. S., 1995- Metamorphic Phase Equilibria and Pressure-Temperature-Time Paths. Mineralogical Society of America, 799 p.
- Spear, F. S., Selverstone, J., Hickmott, D., Crowley, P. & Hodges, K.V., 1984- P-T paths from garnet zoning: A new technique for deciphering tectonic processes in crystalline terranes. *Geology*, 12: 87-90.
- Thomson, A. B., 1976- Mineral reactions in pelitic rocks. II. Calculation of some P-T-X (Fe-Mg) phase relations. *American Journal of Science*, 276: 425-454.
- Tronnes, R. G., Edgar, A. D. & Arima, M., 1985- A high pressure-high temperature study of  $\text{TiO}_2$  solubility in Mg-rich phlogopite: Implications to phlogopite chemistry. *Geochimica et Cosmochimica Acta*, 49: 2323-2329.
- Wu, C. M. & Cheng, B. H., 2006- Valid garnet-biotite (GB) geothermometry and garnet-aluminum silicate-plagioclase-quartz (GASP) geobarometry in metapelitic rocks. *Lithos*, 89: 1 - 23.
- Wu, C. M., Wang, X. S., Yang, C. H., Geng, Y. S. & Liu, F. L., 2002- Empirical garnet-muscovite geothermometry in metapelites. *Lithos*, 62: 1-13.
- Wu, C. M., Zhang, J. & Ren, L. D., 2004- Empirical garnet-biotite-plagioclase-quartz (GBPQ) geobarometry in medium to high grade metapelites. *Journal of Petrology*, 45: 1907-1921.
- Wu, C. M. & Zhao, G. C., 2006- Recalibration of the garnet-muscovite (GM) geothermometer and the garnet-muscovite-plagioclase-quartz (GMPQ) geobarometer for metapelitic assemblages. *Journal of Petrology*, 47: 2357-2368.
- Wu, C. M. & Zhao, G. C., 2007- The Metapelitic Garnet-Biotite-Muscovite-Aluminosilicate-Quartz (GBMAQ) Geobarometer. *Lithos*, 97: 365-372.